

بررسی و ارزیابی روند تغییرات سطوح جنگل‌های حراء (مانگرو) با استفاده از تکنیک‌های سنجش از دور (نمونه موردی: بندرعباس)

محمدعلی زنگنه اسدی^۱ ابراهیم تقی مقدم^{۲*} الهه اکبری^۳

تاریخ پذیرش: ۹۵-۷-۳

آگاهی از تغییر و تحولات اولین و مهم‌ترین اقدام برنامه‌ریزان و متولیان محیط طبیعی و انسانی می‌باشد. استفاده از تصاویر ماهواره‌ای و تکنیک‌های پردازش آن‌ها، ابزار بسیار دقیقی برای پیمایش و ارزیابی تغییرات سطوح جنگلی محسوب می‌شود. این تحقیق با هدف بررسی و ارزیابی روند تغییرات سطوح جنگل‌های حراء بندرعباس با استفاده از تکنیک‌های سنجش از دور می‌باشد. جهت نیل به این هدف از اطلاعات و نقشه‌های توپوگرافی، تصاویر ماهواره‌ای سال‌های ۱۹۸۹-۲۰۰۵-۲۰۱۵ منطقه و الگوریتم‌های حداکثر احتمال (MLC)، حداقل فاصله (MD) و ماشین بردار پشتیبان (SVM) استفاده شده است. نتایج تحقیق حاضرنشان می‌دهد روش حداکثر احتمال با دقت کلی ۹۸/۳۲٪ و ضریب کاپا ۹۷/۸٪ نسبت به روش ماشین بردار پشتیبان و حداقل فاصله روش دقیق‌تری در تهیه نقشه تغییرات پوشش زمین و روندیابی تغییرات جنگلی می‌باشد. همچنین نتایج نشان می‌دهد مجموع سطوح جنگل‌های حراء در منطقه مزبور در سال ۱۹۸۹، ۷۶/۰۹ کیلومترمربع بوده است که این رقم در سال ۲۰۰۵، به ۷۴/۹۶۱ کیلومترمربع کاهش یافته سپس با سیر صعودی به ۱۲۵/۰۸ کیلومترمربع در سال ۲۰۱۵ افزایش یافته است. این تغییرات چشمگیر بر اثر تحولات بیولوژیکی و هیدرودینامیک در اکوسیستم طبیعی سواحل منطقه و به خصوص تنگه هرمز می‌باشد به نحوی که باعث گسترش جنگل‌های حراء در منطقه شده است. با این وجود اتخاذ هرگونه طرح‌های بهره‌برداری از این جنگل‌ها، احداث تاسیساتی ساحلی و یا اقدامات حفاظتی در منطقه باید براساس روند کاهش و یا افزایش بیولوژیکی جنگل‌های حراء منطقه باشد.

کلمات کلیدی: الگوریتم، بندرعباس، جنگل‌های حراء، حداکثر احتمال، ماشین بردار پشتیبان

^۱ دانشیار ژئومورفولوژی دانشگاه حکیم سبزواری، سبزوار، ایران

^۲*دانشجوی دکتری ژئومورفولوژی دانشگاه حکیم سبزواری سبزوار، ایران Emai: e.taghavi@hsu.ac.ir

^۳ عضو هیات علمی دانشگاه حکیم سبزواری و دانشجوی دکترا سنجش از دور دانشگاه تهران، تهران، ایران

آبزی پروری، صنایع چوب، فعالیت‌های مرتبط با معدن، احداث سد بر روی رودخانه‌ها و توسعه توریسم بر اکوسیستم جنگل‌های حراء موثر و زمینه را برای تخریب این جنگل‌های بالارزش فراهم می‌کند (۲۵). تغییر در فاکتورهایی نظیر دمای هوا، یخ‌بندان، بارندگی، مانسون، طوفان، رسوبگذاری و شوری که به طور مستقیم میزان رشد و نمو درختان حراء را تحت تاثیر قرار می‌دهند (۳۶). علاوه بر این نفوذ آب شور از طریق کanal‌های جذر و مدبی به تالاب‌های شیرین، افزایش در دمای دریا و هوا و تغییر در رسوب‌گذاری می‌تواند بیان‌کننده رشد مانگروها نسبت به توزیع نرمالشان باشد (۹). زمین‌های گلی و ماسه‌های ساحلی در مناطق نیمه‌حاره به عنوان سدی در برابر بالا آمدن سطح آب دریاها عمل کرده و فرصت مناسبی را برای انتباط و سازگاری گونه‌های مانگرو مهیا سازد. در مانگرو-های مصبی، تقابل رسوبگذاری و حرکات تکتونیکی باعث کاهش عمق نوار ساحلی شده و زمینه را برای استقرار رشد مانگروها مساعد می‌سازد (۳۴). علاوه بر این انجام پروژه‌های احیاء و استقرار مجدد مانگروها در برخی از مناطق جهان موجب افزایش وسعت این جنگل‌ها شده است (۳). اکوسیستم‌های مانگرو در ایران به واسطه دara بودن منابع حساس بیولوژیکی، اهمیت زیستگاهی و پرورشگاهی، غذای جانداران و وجود گونه‌های در معرض خطر و کمیاب، حساسیت به آلاینده‌ها، کندی ترمیم و مشکلات ناشی از پاکسازی آلاینده‌ها در ردیف یکی از مهم‌ترین مناطق حساس دریایی ایران قرار دارند (۸). داده‌های ماهواره‌ای با ویژگی-

مقدمه

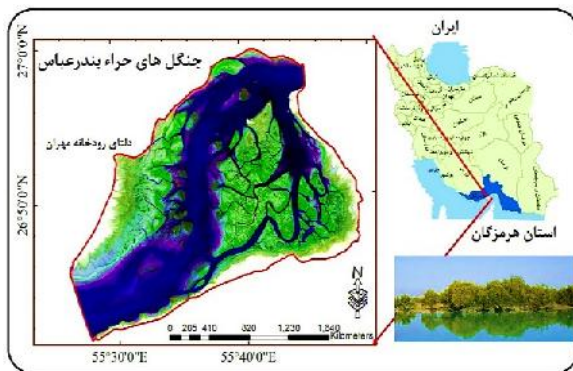
تغییر یکی از ویژگی‌های طبیعی اکوسیستم‌ها در سطح زمین و واکنشی از سوی اجزاء یک اکوسیستم جهت سازگاری با الگوهای اقلیمی و فضایی چون واقعی تکتونیکی و گردش عمومی جریان‌های اقلیمی و اقیانوسی می‌باشد (۲). همه اکوسیستم‌ها به خصوص اکوسیستم‌های ساحلی تحت تاثیر عوامل طبیعی و انسانی قرار گرفته و از نظر ابعاد، شدت و روند تغییرات متفاوت هستند و تاثیر بسیاری در معیشت انسان دارند (۲۴). تغییرات پوشش اراضی، توسعه مناطق شهری و کشاورزی و جنگل‌زدایی باعث تغییر رژیم اقلیمی منطقه می‌شود (۱۲). مانگروها گیاهان چوبی هستند که در حد فاصل خشکی و دریا در مناطق گرمسیری و نیمه گرمسیری زیست می‌کنند و فواید اکولوژیک بی‌شماری دارند بطوریکه سیستم ریشه‌ای آنها باعث پایداری رسوبات می‌شود و اجتماعات آنها انرژی امواج را کاهش می‌دهد و در مقابل زیستگاه و پناهگاه برای شمار زیادی از موجودات زنده ایجاد می‌کند (۳۲). علاوه بر اهمیت بوم‌شناختی، متعدد این منابع جنگلی، فواید اقتصادی فراوانی در سطح مختلف جامعه جهانی، منطقه‌ای و به‌خصوص محلی برای آنها متصور است، به همین دلیل جوامع علمی سعی در شناخت ماهیت و کاربرد آنها دارند (۱). نقش عامل انسانی در بهره‌برداری و تخریب تالاب‌های حراء در نواحی گرمسیری بسیار افزایش داشته است (۲۷). هرچند در مناطقی مانند سواحل بنگلادش، جنوب استرالیا و غرب هند افزایش سطح جنگل‌های حرا گزارش شده است (۱۱) (۹) (۳۴). عواملی متعددی چون توسعه شهری،

را با وسعت ۱۷۷۸ کیلومترمربع به کمک داده‌های TM و ETM مورد ارزیابی قرار داد(۱۹). پلینینجر^۴ (۲۰۱۴) با استفاده از عکس‌های هوایی و نقشه‌های کاربری ۱:۲۰۰۰۰ مربوط به سال‌های ۱۹۰۱-۲۰۰۹ به بررسی تغییرات دو ناحیه جنگلی در شمال آلمان پرداخته است و تغییر کاربری جنگل‌ها به کاربری مرتع، صنعتی و مسکونی را به عنوان مهمترین تغییر در منطقه معرفی می‌کند(۲۸). باگوات^۵ (۲۰۱۳)، تغییرات کاربری اراضی محدوده متropolitn Katmando نپال را با استفاده از تصاویر ماهواره‌ای چند زمانه مورد بررسی قرار داده است(۷). سنگا^۶ و همکاران (۲۰۱۴)، تغییرات پوشش زمین جنگل‌های مانگرو منطقه ساحلی زنگبار در کشور تانزانیا را با استفاده از تصاویر ماهواره‌ای ۲۰۱۱-۲۰۰۰ ماهواره لندست مورد بررسی قرار داده و تغییر کاربری عرصه‌های جنگل مانگرو را به کشت برنج از ۲۶۲ هزار هکتار در سال ۲۰۰۱ به ۸۶ هزار در سال ۲۰۱۱ می‌داند(۳۳). هینا^۷ و همکاران (۲۰۱۵) با استفاده از تکنیک‌های سنجش از دور چون طبقه‌بندی نظارت شده به پایش تغییرات مانگروهای دلتای رودخانه سند در پاکستان پرداخته و روند گسترش جنگل‌های مانگرو را در راستای افزایش رسوبات دلتای رودخانه معرفی کرده است(۱۴). در زمینه آشکارسازی تغییرات در ایران ماهینی و همکاران (۲۰۱۰) با استفاده از سامانه اطلاعات جغرافیایی و سنجش از دور به آشکارسازی تغییرات پوشش اراضی چالوس‌رود پرداخته و با مدل‌سازی

هایی چون سطح پوشش وسیع، پوشش تکراری و دارا بودن توان طیفی و مکانی مناسب، امکانات مناسبی را به منظور پایش تغییرات جنگل‌ها فراهم ساخته‌اند(۲۲)(۳۳). طبقه‌بندی تصاویر ماهواره‌ای یکی از مهمترین مراحل در استخراج اطلاعات از تصاویر رقومی ماهواره‌ای می‌باشد که دست‌یابی به دقت‌های متفاوت را امکان‌پذیر می‌نماید. با توجه به اهمیت این موضوع، محققین برای دستیابی به تغییرات کاربری اراضی از روش‌های مختلف طبقه‌بندی آماری استفاده نموده‌اند و تحقیقات گسترده‌ای در مورد نحوه عملکرد و اصول تئوری روش‌های طبقه‌بندی صورت گرفته است. در بین روش‌های طبقه‌بندی تصاویر ماهواره‌ای، روش طبقه‌بندی ماشین بردار پشتیبان^۱، یکی از مهمترین روش‌های طبقه‌بندی نظارت شده بر اساس نمونه‌های تعلیمی است(۱۷). اکثر محققین از جمله آرخی و نیازی (۲۰۰۹) (۶)، ربیعی و همکاران (۲۰۰۵)(۲۹)، ماهینی و همکاران (۲۰۱۲)(۲۰) و نیازی و همکاران (۲۰۱۰) (۲۳) روش حداکثر احتمال را روش دقیقی نسبت به سایر روش‌ها می‌دانند. از جمله مطالعاتی که در سطح بین المللی شده است عبارتند از: هورکام^۲ و همکاران (۲۰۰۳) در منطقه RANDOMA در جنوب غربی بربزیل تغییرات جنگل‌های آمازون را با کمک داده‌های تصاویر AVHRR، NOVAA و LANDSAT مورد ارزیابی قرار دادند(۱۶). لوسیانا^۳ و همکاران (۲۰۰۷) در منطقه‌ای در ترکیه تغییرات جنگل‌ها

⁴ Plieninger⁵ Bhagawat⁶ Senga⁷ Hina¹ Support MachinVector² Hurcom³ Luciana

شده است (شکل ۱). مناطق روستایی پهله، پیر جزیره، تستقان بالا و پایین و شهر بندر خمیر در مرز شمالی منطقه، لافت کنه، بندر لافت، کورزین در حاشیه شرقی، خورخوران، سهیلی، طبل، دوربندی و گوران در حاشیه جنوبی آن قرار دارد. این منطقه نخست در سال ۱۳۵۱ با وسعتی معادل ۸۲۳۶۰ هکتار با نام منطقه حفاظت شده حرا تحت حفاظت قرار گرفت، سپس با افزایش سطح آن به ۸۵۶۸۶ هکتار در سال ۱۳۵۴ عنوان پارک ملی را به خود اختصاص داد. این منطقه اکنون با نام منطقه حفاظت شده حرا تحت مدیریت اداره کل محیط زیست استان هرمزگان حفاظت می‌شود^(۸). براساس اطلاعات حاصل از سه ایستگاه سینوپتیک بندرعباس، بندر لنگه و جزیره قشم منطقه در طبقه‌بندی اقلیمی دومارتون دارای اقلیم خشک می‌باشد. میانگین دمای سالیانه بین ۲۵ تا ۲۷ درجه سانتی‌گراد است. محدوده مورد مطالعه از نظر زمین‌ساخت جزء زاگرس چین- خورده بوده و از نظر تکتونیکی در طی دوران‌های زمین‌شناسی عملکرد پلیت عربی در آن بی‌تأثیر نبوده است.



شکل ۱- منطقه مورد مطالعه

تغییرات با مدل مارکوف به پیش‌بینی تغییرات اقدام نموده است^(۲۱). نیازی و همکاران^(۲۰۱۰) با استفاده از دو روش حداکثر احتمال و شبکه عصبی مصنوعی نقشه کاربری اراضی حوضه سد ایلام را تهیه و روش شبکه عصبی را نسبت به روش حداکثر احتمال روش دقیق‌تری می‌دانند^(۲۳). امیری و همکاران^(۲۰۱۱) با استفاده از شاخص‌های گیاهی و اعمال آن بر روی تصاویر ماهواره‌ای IRS هندوستان، سطح رویش جنگل‌های حراء ناییند در مجاورت تاسیسات نفتی پارس جنوبی برآورد نموده است^(۴). ماهینی و همکاران^(۲۰۱۲) با استفاده از تصویر ۲۰۰۱ ماهواره لندست به طبقه‌بندی مناطق جنگلی استان گلستان با روش حداکثر احتمال پرداخته و استفاده از این روش را بدین منظور مناسب می‌دانند^(۲۰).

این مطالعه به منظور پایش تغییرات وسعت و تراکم جنگل‌های مانگرو بخش شمالی جزیره قشم و سواحل بندرلنگه به انجام رسیده است. این منطقه جزء تالاب بین‌المللی خورخوران و از ذخایر ملی کشور محسوب می‌شود که دارای ارزش‌های اکولوژیک منحصر به فردی است. توده‌های مانگرو این تالاب تنها از یک گونه به نام آویسینای دریایی^۱ تشکیل شده است^(۸).

مواد و روش‌ها

منطقه مورد مطالعه

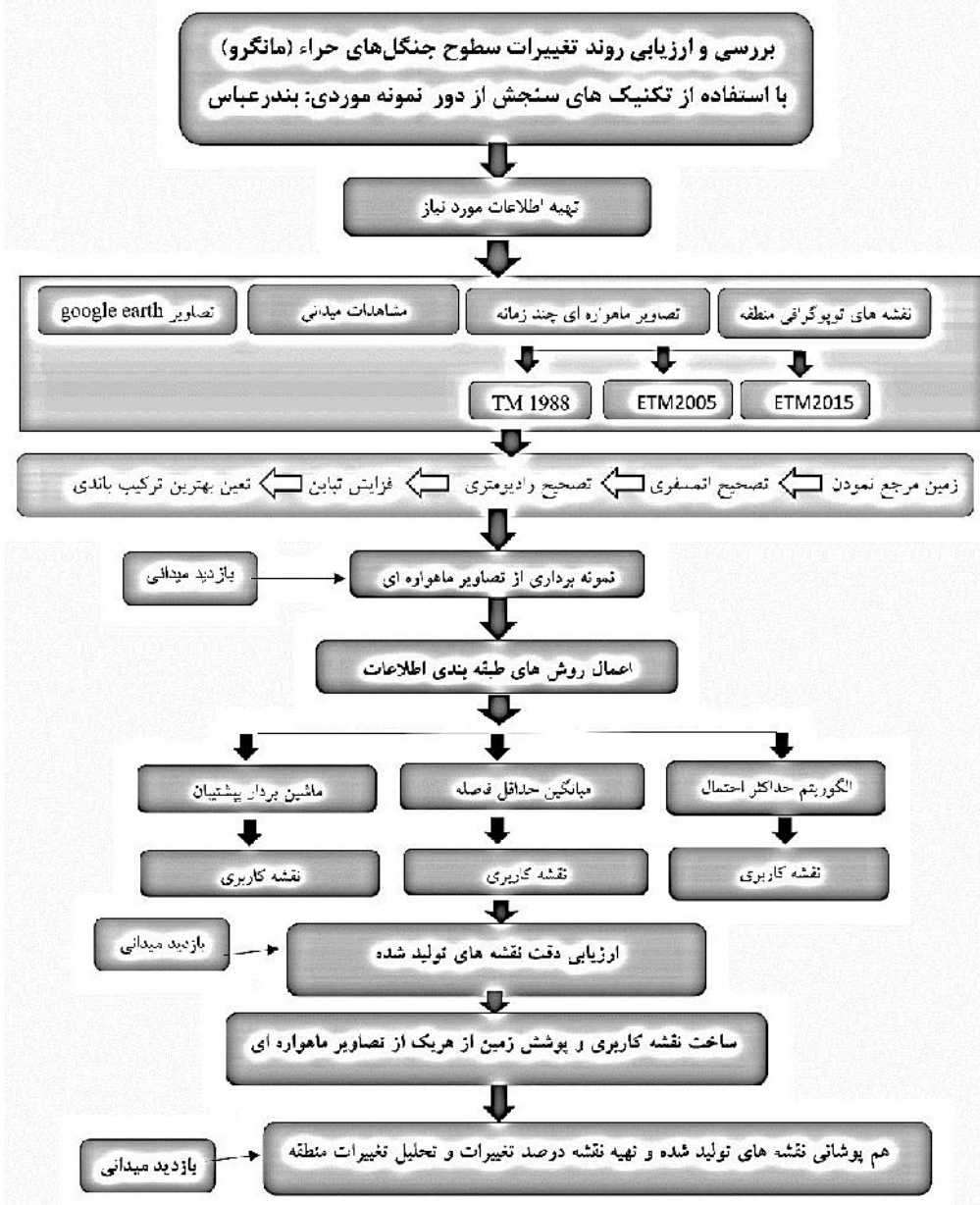
منطقه مورد مطالعه بین نوار شمالی ساحل جزیره قشم و حاشیه جنوبی ساحل اصلی کشور، در تنگه خوران بین $۳۱^{\circ} ۴۸' ۵۵''$ تا $۳۶^{\circ} ۵۸' ۴۴''$ عرض شمالی و $۵۵^{\circ} ۰۵' ۲۷''$ تا $۵۶^{\circ} ۰۹' ۲۶''$ طول شرقی واقع

^۱ Avicennia marina

منطقه حفاظت شده خورخوران از نقشه‌های توپوگرافی شیت 2.5.6 NG-40 مربوط به نقشه بندرعباس و بندرلنگه و جزیره قشم استفاده شد.

روش تحقیق

در این تحقیق پس از انتخاب منطقه و طراحی چارچوب تحقیق(شکل ۲) در جهت آشکارسازی تغییرات کاربری و پوشش زمین در



شکل ۲- چارت مراحل تحقیق

همچنین تصاویر ماهواره‌ای موجود در سازمان فضایی ایران با مشخصات مندرج در جدول یک فراهم شد و در نرم‌افزارهای ENVI نسخه ۲۰۱۲ و Geomatica نسخه

و حذف نویزها و ایرادات داده‌های موجود نمود که نوع و نحوه انجام این عملیات بسته به عوامل مختلفی چون هدف مطالعه و نوع داده‌های مورد استفاده متغیر است^(۳۰).

در کمبند همگرایی قاره‌ای واقع شده است محدودیت فصلی و تغییرات ماهانه آن ناچیز و قابل چشم‌پوشی است^(۳۹) با این حال سعی شده است تمامی تصاویر منتخب از پنج ماه اول سال باشد. قبل از انجام هرگونه پردازش بصری و رقومی تصاویر ماهواره‌ای باید اقدام به شناسایی

جدول ۱ - مشخصات تصاویر ماهواره‌ای مورد استفاده در تحقیق

ردیف	گذر	باند	تاریخ تصویر برداری شمسی	تاریخ تصویر برداری میلادی	سنجدنه	تصویر
۳۵	۱۶۰	۷ و ۵-۱	۱۳۶۸/۰۲/۲۱	۱۹۸۹/۵/۲۱	L4-TM	LANDSAT تولی زمانی: ۱۶ روز و پهنه‌ای تصویر برداری ۱۸۰ کیلومتر
۳۵	۱۶۰	۷ و ۵-۱	۱۳۸۴/۱/۲۷	۲۰۰۵/۴/۱۵	L7-ETM+	
۳۵	۱۶۰	۷-۱	۱۳۹۳/۱۲/۲۳	۲۰۱۵/۰۳/۱۴	L8OLI_TIRS	

کاهش خطاهای اتمسفری و رادیومتریک این تصاویر با روش کاهش تیرگی (کاهش تاثیر طول موج بلند در تصاویر) و سطح مسطح (نرمال نمودن تصاویر بر مبنای ارتفاع) تصحیح شدند و در نهایت محدوده تحقیق از تصاویر ماهواره‌ای جداسازی شد. به منظور افزایش تباین و وضوح بیشتر با استفاده روش Brovey^{۱۲} و باند هشت(پانکروماتیک) تصاویر ماهواره‌ای لندست سال‌های ۲۰۰۵ و ۲۰۱۵ عملیات فیوژن اجراشد^(۱۰). برای تصاویر سنجدنه TM نیز از روش بهبود کنتراست و هیستوگرام پیکسل‌ها استفاده شد. در این تحقیق ابتدا به صورت کلی تغییرات حادث شده در سه دوره زمانی به صورت بصری تعیین و مورد ارزیابی قرار گرفت. بدین منظور از ترکیب باندها به صورت ترکیب باند کاذب (FCC) و واقعی تکنیک‌های بارز-سازی تصاویر از جمله بارزساز لینیر و گوسین برای وضوح بیشتر و همچنین روش تفاضل باند-

پیش‌پردازش تصاویر در این تحقیق طی دو مرحله انجام شده است عموماً به دلیل حرکت ماهواره و زمین در هنگام تصویربرداری خطاهایی بر روی تصویر انجام می‌شود. این خطاهای شامل جابه‌جایی، اعوجاج، چرخش وغیره می‌باشد که این اشتباهات با استفاده از نقشه و یا برداشت میدانی مختصات با GPS و به طور کلی تصحیح هندسی تصویر انجام می‌شود. در این تحقیق ابتدا با توجه به نقاطهای توپوگرافی، بازدیدهای میدانی تصاویر ماهواره‌ای نقاط مشخصی انتخاب و مختصات آن بوسیله دستگاه GPS با دقت $+/- ۱/۵$ متر برداشت شده و به عنوان نقاط کنترل زمینی (GCP) جهت تصحیح هندسی به کاربرده شد. با استفاده از ۱۵ نقطه کنترل و با خطای RMSE = 0.02 با استفاده از روش نزدیک‌ترین همسایه تصحیح هندسی بر روی تصاویر انجام شده است، اولین اثر اتمسفر بر روی تصاویر ماهواره‌ای کاهش تباین و کنتراست و در نتیجه ضعیف شدن عملیات آشکارسازی است. در مرحله بعد جهت

¹² Color Normalized in ENVY

موجود در منطقه تعیین و در هفت طبقه جنگل‌های متراکم، جنگل‌های پراکنده، مراتع، زمین‌های گلی، زمین‌های بایر، آبراهه‌های کم-عمق و آبراهه‌های عمیق طبقه‌بندی شد (جدول ۲).

های مشابه برای مشاهده تغییرات کلی استفاده شد. سپس به طبقه‌بندی اراضی منطقه اقدام شد. قبل از انجام طبقه‌بندی باید از یک الگوی استاندارد استفاده کرد تا بتوان بر اساس آن به نمونه‌گیری از نمونه‌های زمینی پرداخت (۳۰). الگوی استاندارد بر اساس عوارض و پهنه‌های

جدول ۲ - طبقه‌بندی اراضی موجود در منطقه

شماره	نوع طبقه	ویژگی‌ها	مساحت نمونه تعلیمی به متر
۱	جنگل متراکم	پوشش جنگل‌های حراء متراکم در دهانه خورها و با سن تقریبی بالای ۵ سال	۳۴۲
۲	جنگل پراکنده	جنگل‌های حراء نیمه متراکم و پراکنده با سن تقریبی ۱-۵ سال	۵۳۶
۳	مراتع	بوتهزارها، گیاهان نمک دوست و جلبک‌ها	۹۳۲
۴	زمین‌های بایر	زمین‌های لخت بدون پوشش گیاهی و نمکزارها	۱۵۵۲
۵	زمین‌های گلی	زمین‌های مرطوب تحت تاثیر جذرو مد و زمین‌های با سطح آب زیرزمینی بالا	۸۹۵
۶	آب‌های کم‌عمق	آب‌های با عمق تقریبی کمتر از ۵ متر	۱۱۴۳
۷	آب‌های عمیق	آب‌هایی با عمق ۵-۱۰ متر و بیشتر	۱۳۷۴

پرداخته شد، همچنین با استفاده از تحلیل‌های پیکسل‌پایه سعی شد پدیده‌ها از یکدیگر کاملاً تفکیک شوند. با استفاده از ارزش عددی پیکسل‌ها می‌توان پدیده‌های متناظر را شناسایی و مورد ارزیابی قرار داد (۲۱). و در نهایت مناسب‌ترین ترکیب باندهای تصاویر ماهواره‌ای جهت هرگونه آستانه‌گذاری معرفی شود.

برای پردازش اولیه تصاویر ماهواره‌ای و همچنین شناسایی پدیده‌ها ابتدا انحراف معیار باندهای اصلی تصویر ماهواره‌ای محاسبه شد، سپس همبستگی بین ترکیب باندهای گوناگون محاسبه شد سپس با استفاده از شاخص مطلوبیت یک ترکیب باندی ۳تایی مناسب برای کشف پدیده‌ها و عوارض در تصاویر ماهواره‌ای تعیین سپس با ترسیم منحنی رفتار طیفی درصد پراکندگی اطلاعات در هر یک از باندها مشخص و آستانه‌های مناسب و ایده‌آل برای هر

سپس نمونه‌های تعلیمی مورد نیاز مدل جهت نمونه‌گیری از پهنه‌های موجود در مساحت یاد شده در جدول ۲ استخراج و پردازش شد. در ادامه نقشه طبقه‌بندی شده با هر کدام از روش‌های حداکثر احتمال، حداقل فاصله و ماشین بردار پشتیبان تهیه شد. و در نهایت با تعیین نقاط چک دقت هر کدام از روش‌ها مورد ارزیابی قرار گرفت. سپس با استفاده از بهترین روش تعیین شده نقشه پوشش و سطوح جنگلی منطقه تهیه و تغییرات رخ داده مورد تحلیل و ارزیابی قرار گرفت.

پردازش بصیری تصاویر ماهواره‌ای

مهم‌ترین مرحله در استخراج اطلاعات تغییرات از یک منطقه انتخاب بهینه نمونه‌ها جهت طبقه‌بندی می‌باشد. لذا در این تحقیق ابتدا با استفاده از تصاویر Google Earth و بازدیدهای میدانی به شناسایی عوارض زمین در منطقه

است که پس از تعیین مقادیر میانگین طیفی در هر باند، با مشخص شدن پیکسلی که میانگین ارزش طیفی نمونه‌های تعلیمی هر طبقه به خود اختصاص داده، فاصله هر پیکسل طبقه‌بندی نشده با پیکسل‌های میانگین مقایسه شده و سپس پیکسل مورد نظر به کلاسی اختصاص داده می‌شود که کمترین فاصله با میانگین دارد(۳۱). در روش حداکثر احتمال کاربر باید دقیق کند که کلاس‌بندی را بر اساس کلاس‌های نرمال گوسین طبقه‌بندی نماید. روش حداقل فاصله به نظر برخی از محققین از دقت کمتری نسبت به سایر روش‌ها برخوردار است(۶)(۳۵)(۳۷). به این صورت است که ابتدا میانگین طبقات مختلف را محاسبه سپس فاصله اقلیدسی بازتاب هر پیکسل را از میانگین تمام طبقه‌ها محاسبه می‌کند(۱۳)(۱۵).

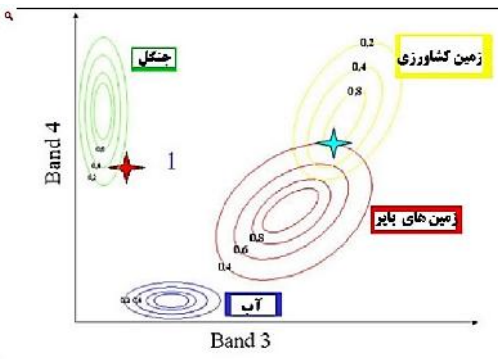
روش بردار پشتیبان SVM

این روش یک روش کلاس‌بندی الگو است که برای اولین بار توسط ویپینگ معرفی شد. این روش بسیار دقیق برای داده‌های پراکنده و نویز-دار بسیار مناسب می‌باشد(۱۷) ماشین بردار پشتیبان یا SVM در واقع یک طبقه‌بندی دودویی در مورد دو کلاس است، این روش سعی دارد با ایجاد یک ابر صفحه، فاصله هر کلاس را تا فراصفحه حداکثر نماید داده‌های نقطه‌ای که به فراصفحه نزدیک‌ترند برای اندازه‌گیری این فاصله به کار می‌روند. از این رو این داده‌های نقطه‌ای، بردار پشتیبان نامیده می‌شوند(۳۸)(شکل ۴). در شکل ۵ نقشه‌های حاصل از هر یک از روش‌ها تولید شد.

عرضه تعیین شد(شکل ۲).

الگوریتم حداکثر احتمال

روش حداکثر احتمال (بیشترین شباهت) از شناخته‌شده‌ترین و پرکاربردترین روش‌های طبقه‌بندی اطلاعات در زمرة روش‌های طبقه‌بندی نظارت شده می‌باشد. در این روش احتمال اینکه یک پیکسل به تمامی کلاس‌ها تعلق داشته باشد محاسبه شده و به کلاس با بیشترین احتمال تعلق می‌گیرد. به این منظور فرض بر این گذاشته می‌شود که داده‌ها با توزیع نرمال برآذش دارند(۳۱). در حقیقت نمونه‌های تعلیمی باید معرف آن کلاس باشند. در نتیجه باید نقاط تعلیمی به تعدادی باشد که خصوصیات نمونه‌ها در آن به صورت دقیق و کامل آورده شده باشد(۳۷) طبقه‌بندی در این روش بر اساس شکل زیر انجام می‌شود(۳۱).



شکل ۳- نحوه طبقه‌بندی تصاویر ماهواره‌ای با روش الگوریتم حداکثر احتمال(۱۸)

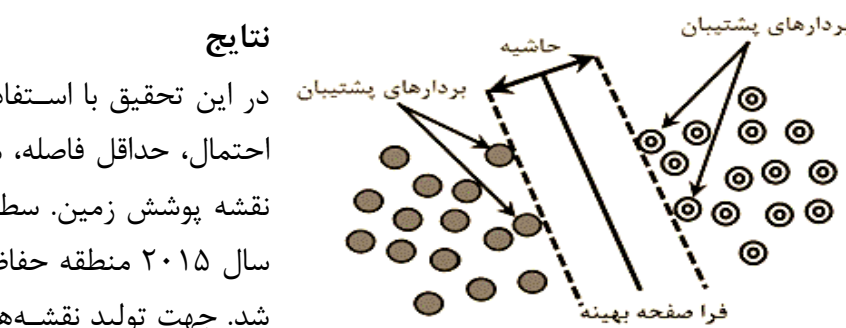
برای انجام این روش ابتدا بایستی تمامی مراحل پیش‌پردازش انجام شده و نمونه‌برداری از منطقه نیز انجام شده باشد، سپس نمونه‌های تعلیمی بر روی تصاویر انتخاب و روش حداکثر احتمال به کاربرده شود.

روش حداقل فاصله MD

روش طبقه‌بندی حداقل فاصله از میانگین روشی

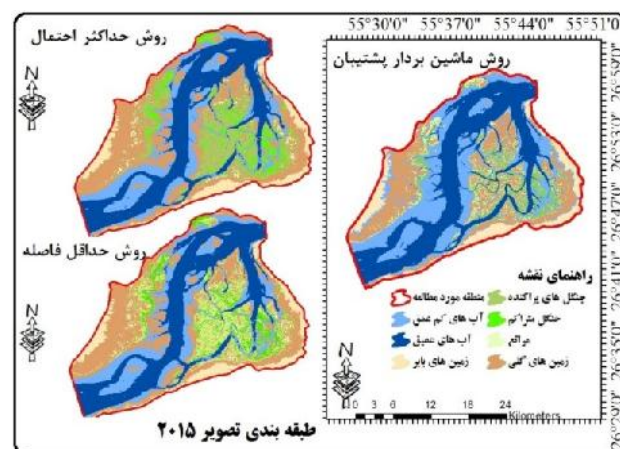
نتایج

در این تحقیق با استفاده از روش‌های حداکثر احتمال، حداقل فاصله، ماشین بردار پشتیبان، نقشه پوشش زمین. سطوح جنگلی مربوط به سال ۲۰۱۵ منطقه حفاظت‌شده منطقه تولید شد. جهت تولید نقشه‌های کاربری اراضی با توجه به هفت طبقه عنوان شده در جدول ۲ عرصه‌های موجود در تصویر ماهواره‌ای ۲۰۱۵ تفکیک شده و با استفاده از طبقه‌بندی نظارت شده از آنها به دقت نمونه‌برداری شد نمونه‌های انتخاب شده با استفاده از نقاط کنترل زمینی که توسط دستگاه GPS برداشت شده بود و همپوشانی تصاویر با دقت بالای Google Earth مورد بازبینی و کنترل قرار گرفت. در ادامه جهت جلوگیری از تداخل طبقات و باندها و ارزیابی تفکیک‌پذیری از الگوریتم تفکیک‌پذیری الگوها استفاده شد. میزان تفکیک‌پذیری باید بیشتر از ۱/۸ و کمتر ۲ باشد(۱۸)، سپس نقشه‌های کاربری اراضی با روش‌های مذکور تولید شد(شکل ۵).



شکل ۴ - مرز خطی بهینه برای حالتی که دو کلاس کاملا از همدیگر جدا شود(۱۳)

در این روش تمامی کلاس‌ها به گونه انتخاب می‌شوند که اولاً تمام نمونه‌های کلاس بردار ۱+ در یک طرف مرز و تمام نمونه‌های کلاس ۱- در طرف دیگر مرز واقع شوند. ثانیاً مرز تصمیم‌گیری به گونه‌ای باشد که فاصله نزدیک‌ترین نمونه‌های آموزشی هر دو کلاس از یکدیگر در راستای عمود بر مرز تصمیم‌گیری تا جایی که ممکن است حداکثر شود(۵) روش الگوریتم ماشین بردار پشتیبان (SVM) در مقایسه با سایر روش‌ها به نمونه‌های آموزشی کمتری نیاز داشته و نتایج مطلوبی را ارائه می‌نماید(۲۶).



شکل ۵- تهیه نقشه پوشش زمین برای سال ۲۰۱۵ از منطقه با سه روش حداکثر احتمال، حداقل فاصله، ماشین بردار پشتیبان

صحت برای تصمیم‌گیری آماری مورد استفاده قرار می‌گیرد شاخص k یا ضریب کاپا در واقع معرف اختلاف بین داده‌های مرجع و سیستم طبقه‌بندی کننده تصادفی است که بر اساس رابطه ۱ تعریف می‌شود(۱۸).

$$\kappa = \frac{p_0 - pc}{1 - pc} \times 100 \quad \text{رابطه ۱}$$

پس از کسب اطمینان از صحت طبقه‌بندی در مرحله بعد بهترین روش جهت تهیه نقشه پوشش زمین و کاربری اراضی معرفی شد. در تحقیق حاضر روش حداقل احتمال با دقت کلی ۰/۹۷۸۱ و ضریب کاپا ۳۲/۹۸٪ نسبت به روش حداقل فاصله و ماشین بردار پشتیبان دارای اعتبار بیشتری می‌باشد و در تهیه نقشه‌های پوشش زمین و کاربری اراضی استخراج شده از تصاویر ماهواره‌ای بایستی بیش از ۸۵٪ باشد- (۱۸).

ارزیابی دقت طبقه‌بندی

طبقه‌بندی تا زمانی که دقت آن مورد ارزیابی قرار نگیرد کامل نیست(۱۸). در این تحقیق برای ارزیابی صحت هر کدام از طبقه‌بندی‌ها با استفاده از دستگاه GPS بصورت تصادفی اقدام به جمع آوری نقاط حقایق زمینی شده و با پیاده‌سازی نقاط کنترل برداشت شده، پارامترهای آماری ارزیابی دقت ماتریس خطا شامل ضریب کاپا و دقت کلی نقشه استخراج شد. ضریب کاپا که دقت طبقه‌بندی را نسبت به یک طبقه‌بندی تصادفی مورد ارزیابی قرار می‌دهد، بین صفر و یک قرار دارد که صفر نشانگر طبقه‌بندی کاملاً تصادفی و یک نشانگر طبقه‌بندی کاملاً صحیح است(۳۷). ضریب کاپا، تکنیک چندمتغیره گسسته‌ای است به این صورت که اگر یک ماتریس خطا تفاوت معناداری با دیگری داشته باشد، در ارزیابی

جدول ۳- ارزیابی دقت روش‌های مورد استفاده در تحقیق

روش	ماشین بردار پشتیبان	حداقل فاصله	حداکثر احتمال	ضریب کاپا	دقت کلی	دقت کاربر
ماشین بردار پشتیبان	۰/۹۰۱	۰/۵۷۶	۰/۹۷۸	۰/۹۸/۳۲	% ۹۸/۳۲	۷/۵۲۱
حداقل فاصله	۰/۹۷۶	۰/۵۷۶	۰/۹۷۸	۰/۹۸/۳۲	% ۹۸/۳۲	۵۴/۴۴
حداکثر احتمال	۰/۹۰۱	۰/۹۷۸	۰/۹۸/۳۲	۰/۹۸/۳۲	% ۹۸/۳۲	۷/۵۲۱

بررسی قرار گرفت. بر این اساس ابتدا با استفاده از نمونه‌های تعلیمی هفت عرصه بر روی تصاویر ماهواره‌ای شناسایی سپس تفکیک‌پذیری هر یک از عرصه‌ها، مورد ارزیابی قرار گرفت (جدول ۴)

این تحقیق با هدف ارزیابی تغییرات پوشش زمین و سطوح جنگلی جنگل‌های حراء بندر- عباس است. لذا پس از تعیین بهترین روش جهت تهیه نقشه پوشش زمین، تغییرات رخ داده در طول ۲۶ سال دوره تحقیق پایش و مورد

جدول ۴- تفکیک‌پذیری نمونه‌های انتخابی از تصاویر ماهواره‌ای سال ۱۹۸۹-۲۰۰۵-۲۰۱۵

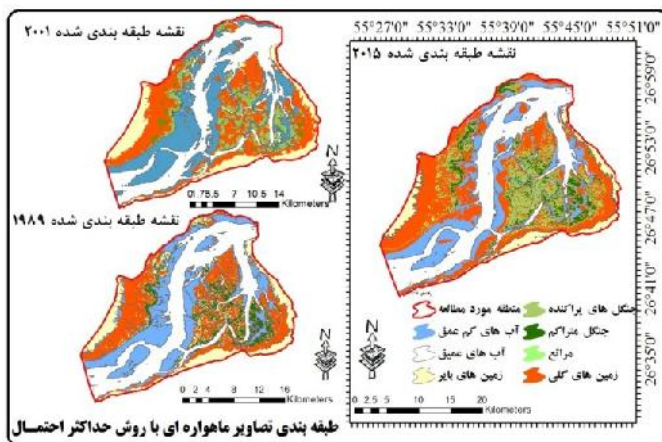
روش	تصویر ۱۹۸۹	تصویر ۲۰۰۱	تصویر ۱/۹۴۳	تصویر ۱/۸۹۹	حداکثر تفکیک پذیری
تصویر ۱۹۸۹	۱/۹۶۹	۱/۹۴۳	۱/۸۹۹	۱/۹۳۲	۲
تصویر ۲۰۰۱	۱/۹۶۹	۱/۹۴۳	۱/۸۹۹	۱/۹۳۲	۱
تصویر ۲۰۱۵	۱/۹۹۹	۱/۹۹۹	۱/۹۸۹	۱/۹۸۹	۲

نقشه‌های پوشش زمین برای سال‌های ۱۹۸۹-

سپس با استفاده از طبقه‌بندی نظارت شده

جبر خطی و آمار پایه از قبیل تفاصل و درصد، اختلاف دو به دو کلاس‌ها را براساس پیکسل بیان می‌نماید (۱۰). برای این منظور با استفاده از محاسبات آماری تغییرات کاربری در محیط نرم‌افزاری ENVI(4.8)، مقادیر نواحی کاربری اراضی تغییر یافته، محاسبه گردید.

۲۰۰۵-۲۰۱۵ تهیه شد (شکل ۶). جهت استخراج اطلاعات این نقشه‌ها از فیلتر مازوریتی استفاده شده سپس به ارزیابی تغییرات پوشش اراضی و سطوح جنگلی اقدام شد. در این روش، تغییرات کاربری اراضی بر مبنای ماتریس، در قالب کلاس به کلاس به دست می‌آید. از طریق الگوریتم‌های



شکل ۶- تولید نقشه پوشش زمین برای سال‌های ۱۹۸۹ و ۲۰۰۵ و ۲۰۱۵ با استفاده از روش حداکثر احتمال همان‌طور که در جدول ۵ مشاهده می‌شود میزان جنگل‌های پراکنده در سال ۵۴/۴ کیلومترمربع می‌باشد که نیمی از این مقدار در سال ۲۰۱۵ تبدیل به جنگل‌های متراتکم شده است که نشان‌دهنده رشد بالای درختان مانگرو در طی ۱۰ سال است. قسمت شمالی منطقه مورد مطالعه منطبق بر دلتای رودخانه مهران و جنگل‌های حراء می‌شود.

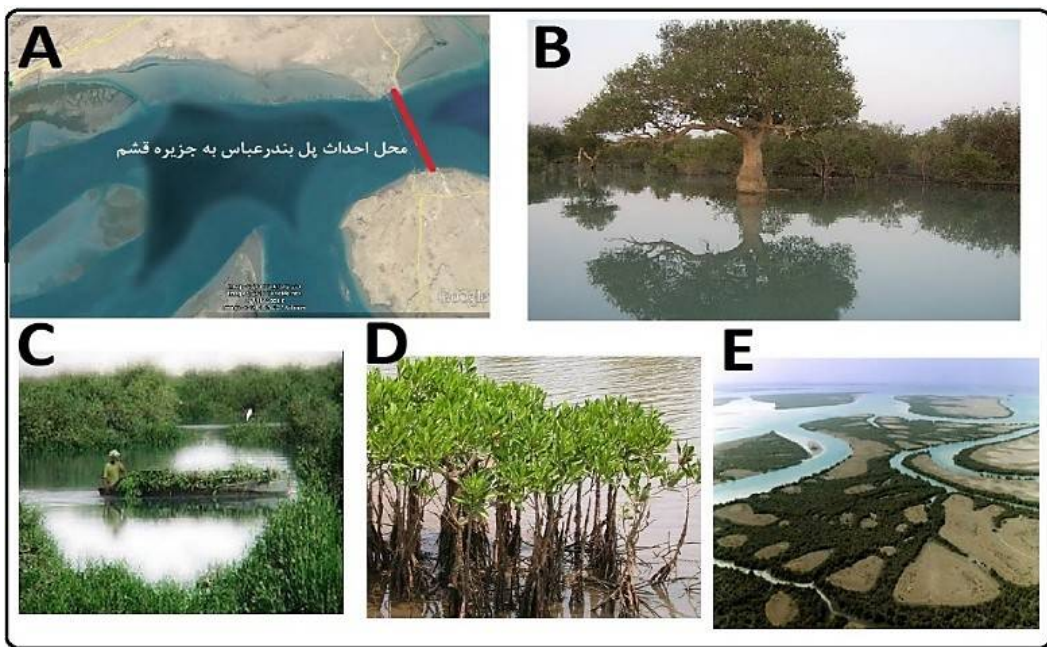
جدول ۵ - مساحت و نوع تغییرات پوشش زمینی و سطوح جنگلی جنگل‌های حراء بندرعباس

نوع تغییر	تفاوت	مساحت سال KM ² ۲۰۱۵	نوع تغییر	تفاوت	مساحت سال KM ² ۲۰۰۵	مساحت سال KM ² ۱۹۸۹	نوع طبقه	شماره
افزایشی	۳۱/۳۳۰۸	۳۸/۸۵۲۳	افزایشی	۶/۵۷۱۱	۰/۵۲۱۵	۰/۹۵۰۴	جنگل متراتکم	۱
افزایشی	۳۱/۷۹۰	۸۶/۲۳۰۵	کاهشی	-۲۰/۷۰۲۴	۵۴/۴۴۰۳	۷۵/۱۴۲	جنگل پراکنده	۲
کاهشی	-۲۱/۹۲	۹/۲۸۲۸	افزایشی	۲۵/۳۸۵۴	۳۱/۲۰۶۶	۵/۸۲۱	مراتع	۳
افزایشی	۱۹/۷۹۴۸	۵۵/۴۴۲۴	کاهشی	-۵/۳۰۱۹	۷۵/۲۳۷۳	۸۰/۶۳۹۲	زمین‌های بایر	۴
افزایشی	۷۰/۰۸۲	۲۳۰/۶۴۰۰	کاهشی	-۲۴/۷۳۴	۱۶۰/۵۵۷۹	۱۸۵/۲۹۲	زمین‌های گلی	۵
کاهشی	-۱۹۰/۱۴	۱۳۰/۱۹۹	افزایشی	۱۳۰/۳۵۱	۳۲۰/۳۴۴۶	۱۸۹/۹۹	آب‌های کم عمق	۶
افزایشی	۹۸/۶۴۰	۱۹۰/۴۲۶	کاهشی	-۱۱۱/۵۱	۹۱/۷۸۵	۲۰۳/۳۰۴	آب‌های عمیق	۷
		۷۴۱/۰۴۳۲			۷۴۱/۰۴۳۲	۷۴۱/۰۴۳۲	مجموع	

طبقه‌بندی پوشش زمین در پایش تغییرات به کار برد. طبق محاسبات انجام شده سطح مجموع جنگل‌های متراکم و پراکنده حراء از ۷۶/۰۹ کیلومترمربع در سال ۱۹۸۹ به ۱۲۵/۰۸ کیلومترمربع در سال ۲۰۱۵ رسیده است. افزایش سطح جنگل در منطقه تابع عوامل متعددی است که بالا آمدن سطح اساس دریاهای آزاد، تغییر در خواص شیمیایی آب-های ورودی به این منطقه از تنگه هرمز، ورود آب‌های لب‌شور رودخانه مهران و شور و همچنین رسوبات ریز دانه و حاصلخیز این رودخانه‌ها، تکامل ژئومورفولوژیکی محیط تالاب خورخوان و از همه مهم‌تر عملکرد گنبدهای نمکی در کاهش عمق آب در منطقه از مهم‌ترین عوامل گسترش جنگل‌های حراء منطقه می-باشد(شکل ۷). با توجه به افزایش سطح پوشش جنگل‌های حراء همچنان برنامه‌ریزی برای حفظ این ثروت طبیعی در راستای توسعه پایدار لازم و ضروری است و بهره‌برداری از این منابع خدادادی جهت گسترش اکوتوریسم، جلوگیری از بلایای طبیعی چون سونامی و غیره، حفظ رسوبات رودخانه‌ای حاصلخیز، معیشت و اقتصاد ساکنین باید با مدیریت و نظارت کامل صورت گیرد.

نتیجه‌گیری

نتایج تحقیق نشان می‌دهد تصاویر ماهواره‌ای به دلیلی تنوع طیفی، زمانی و مکانی از مهم‌ترین منابع مورد استفاده برای پژوهشگران می‌باشد. روش‌های پردازش و آشکارسازی تصاویر ماهواره‌ای با تاکید بر کنترل و بازبینی میدانی می‌تواند روش‌های بسیار دقیق و کاملی برای تحقیقات دوره‌ای باشد. طبق مدل‌سازی انجام شده، روش حداکثر احتمال با دقت کلی ۹۸/۳۲٪ و ضریب کاپا ۰/۹۷۸ دارای بیشترین دقت و روش ماشین بردار پشتیبان با دقت کلی ۹۲/۴۵٪ و ضریب کاپا ۰/۹۰۱ در رتبه بعدی و روش حداقل فاصله با دقت کلی ۶۵/۵۹٪ و ضریب کاپا ۰/۵۷۶ دارای کمترین دقت جهت تهیه نقشه پوشش زمین و سطوح جنگل را دارد. نتایج تحقیقات ماهینی و همکاران (۲۰۱۲) (۲۰۱۲)، سفیانیان و همکاران (۲۰۰۹) (۲۰۰۹) کریمی و همکاران (۲۰۰۶) (۲۰۰۶) و باگاوات (۲۰۱۳) (۲۰۱۳) راستای نتایج این تحقیق می‌باشند ولی عده‌ای از محققان چون هونگ و همکاران (۲۰۰۲) (۲۰۰۲) و پتراپلاس و همکاران (۲۰۱۱) (۲۰۱۱) روش ماشین بردار پشتیبان را به عنوان روش دقیق‌تری معرفی نموده‌اند. به دلیل اختلاف بسیار کم روش حداکثر احتمال و ماشین بردار پشتیبان از نقطه‌نظر دقت می‌شود این دو روش را در زمرة روش‌های مناسب جهت



شکل ۷- احداث پل و جاده دریابی بندرعباس به قشم(A) پوشش جنگل‌های متراکم مانگرو(B) بهره‌برداری از درختان مانگرو برای مصارف صنعتی(ساخت تخته، چسب و ...) پژوهشکی و ساختمانی(مصالح)(C) درختچه‌های مانگرو(D) جنگل‌های مانگرو به همراه اراضی گلی(E)

References

1. Ahmed E.A., and K.A Abdel-Hamid. 2007. Zonation Pattern of *Avicennia marina* and *Rizophora mucronata* along the Red Sea Coast, Egypt. World Applied Sciences Journal no 2, p283-288
2. Alongi, D M. 2008. Mangrove forests: Resilience, protection from tsunamis, and responses of global climate change, Estuarine, Coastal and Shelf Science Volume 76, Issue 1, Pages 1–13
3. Alongi.D.M. 2002. Present state and future of the world's mangrove forests. Environmental Conservation, Volume 29: 331-349.
4. Amiri S. Sajadi, J. Sadough Vanini ,H. 2011. Application Of Vegetation Indices Derived From IRS Data For Detecting The *Avicennia* Forest Area Near The South Parsoil Apparatus Environmental Sciences Vol.8, No.1, Autumn 2011(In Persian)
5. Arkhi S, M. Adibnejad, 2012 "Evaluating the capability of support vector machine in land use mapping", Journal of Range and desert research of Iran, Vol.3, pp.420-440, 2012(In Persian)
6. Arkhi, S. and Niazi, Y. 2009. Assessment of remote sensing methods for detecting land use change a case study in Dareh shahr- Elam province. Journal of Research of grassland and desert, 17(1), 74-95. (In Persian)
7. Bhagawat R 2013, Application of Remote Sensing and GIS, Land Use/Land Cover Change In Kathmandu Metropolitan City, Nepal ,Journal Of Theoretical And Applied Information Technology Biological Forum An International Journal ,Vol 3 P 2-7

8. Daneh kar Afshin, 1998 " environment sensitive zones in margin iran Journal of Environmental 7, no. 24 p: 28-38(In Persian)
9. De Boer W.F., 2002. The rise and fall of the mangrove forests in Maputo Bay, Mozambique. Wetlands Ecology and Management. Volume 10, Issue 4, pp 313-322
10. ENVI User's Guide, 2008, ENVI On-line Software User's Manual, ITT Visual Information Solutions.
11. FAO.2003. State of the Worlds Forest (SOFO). The situation and developments in the forest sector.2003.availabe online
12. Feizizadeh, B. and T.Blaschke, 2012. Thermal remote sensing for examining the relationship between urban land surface temperature and land use land cover in Tabriz city, Iran. Paper presented at the IEEE international geoscience and remote sensing symposium, Igars, 22–27 July, Munich, Germany.
13. Goh, K. E. Chang, and K. T. Cheng, "SVM Binary classifier ensembles for image classification," ACM Int. Conf Information and knowledge And management (ICIKM), pp. 395-402, Nov. 2001
14. Hina M, Sh A, Zamir ,B Umair and J. H Kazmi, 2015, Application of Comparative Remote Sensing Techniques for Monitoring Mangroves in Indus Delta, Sindh, Pakistan, Pakistan Journal of Botany, 47(2):797-805
15. Huang, C., L S Davis, and J Townshend, 2002, assessment of support vector machines for land cover classification Int. J. International Journal of Remote Sensing,, 23, pp. 725-749.
16. Hurcom, S.J. & A.R. Harrison, 2003. The NDVI & spectral decomposition for semi-arid vegetation abundance estimation, International Journal of Remote Sensing, pp 3109-3125.
17. Karimi, Y., S Orasher, O Patel, and S. H Kim (2006). Application of Support Vector Machine technology for weed and nitrogen stress detection in corn, Computers and Electronics in Agriculture journal, V.51, pp.99–109.
18. Lillesand Thomas , Ralph Kiefer 2001, Remote Sensing and Image Interpretation, 4th ed, John Wiley and Sons, inc. USA, 2001, ISBN: 0471255157,205p.
19. Luciana P.-Bolland, Edward A. Ellis b, Henry L. Gholz. 2007. Land use dynamics and landscape history in La Monta˜na, Campeche, Mexico. Landscape and Urban Planning journal no 82 pp 198–207.
20. Mahini, AS. A,Azadeh ,J, feghhi,. B, riazi, 2012. Classification of forest areas in Golestan province maximum likelihood method using satellite images etm + 2001, Journal of Science, Technology and the Environment, (3): 97-106 (In Persian)
21. Mahini, r., A. Najafi, M., Mohammad Zadeh, 2010. Chalus River Watershed land cover change detection using remote sensing and GIS, the first National Conference on Geomatics the new 14 Esfand 1389, Tehran University(In Persian)
22. Mirzaee born, and Mahdavi and, as in 2014, forest cover change detection using remote sensing, spatial orientation (Case Study: city malekshahi), First National Conference on Environmental, Isfahan .Iran, (In Persian)
23. Niazi Y, MR, Ekhtesasi. H, Malkinejad H, Hosseini.Z, Morshedi C. 2010. Comparing the maximum likelihood method and artificial neural network in land use map (Case Study: Ilam dam basin) Journal of Geography and Development, n20 p: 119-132(In Persian)
24. Odum, E.P., Barrett, G.W., 2004. Fundamentals of Ecology, fifth ed. Brooks-Cole, Belmont, CA, 598 pp.

25. Parente Maria,L., Hisle Uchôa Monteiro,L., Marques e Souza,G and Drude de Lacerda,L.2006. Changes in mangrove extension along the Northeastern Brazilian coast (1978-2003). ISME/GLOMIS Electronic Journal. Volume 5, No. pp9
26. Petropoulos, G, Kontoes, C. and Keramitsoglou, I, 2011, Burnt area delineation from a uni-temporal perspective based on Landsat TM imagery classification using Support Vector Machines, International Journal of Applied Earth Observation and Geoinformation, Volume 13, Issue 1, Pages 70–80
27. Pillay, T.V.R.2004 .Aquaculture and the environment .Blackwell publishing .secound edition. P31-38
28. Plieninger T, 2012. Monitoring directions and rates of change in trees outside forests through multi temporal analysis of map sequences Applied Geography, Volume 32, Issue 2, , Pages 566–576
29. Rabiei, H.r., C Ziaeian, Ali, Ali Mohammad, 2005, discovery and recovery of the city land use changes and land cover remote sensing geographical information systems .lecturer in Human Sciences Journal of, Issue 4: 19-32(In Persian)
30. Rasouli, A., 2008 Fundamentals of Remote Sensing Applications, p ,Tabriz University, 806 p. (In Persian)
31. Richards, J.A., 1999, Remote Sensing Digital Image Analysis, Springer-Verlag, Berlin, p. 240
32. Rodriguez, W and Feller, I.C, .2004.Mangrove landscape characterization and change in Twin Cays, belize using aerial photography and IKONOS satellite data, Atoll research Bulletin.no.513.National Museum of National History. U.S.A pp1-22
33. Senga H.O. Kihupi N. I Evaristo L.2014, Land Cover Changes along the Coastal Marine Ecosystems of Zanzibar Journal of Asian Scientific Research, no 4: pp 83-98
34. Singh.H.S. 2003. Vulnerability and adaptability of Tidal forests in response to climate change in India.Indian forester journal in forestty research and eduction, vol. 129 n6, pp. 749-756
35. Soffianian A. A Study on Land Use Change in Isfahan Using Change vector analysis techniques in the years 1366 to 1377. Water and Soil Sciences Journal (JWSS). 2009; 13 (49) :153-164(In Persian)
36. Tiempo, 2007.Climate and mangrove ecosystem. www.cru.uea.ac.uk /cru/tiempo/issue10/ mangrove.htm
37. Tso Brandt and Paul Mather, 2009. Classification methodds for Remotely Sensed Data. Chapter 2-3. 2nd ed., Pub., Technology & Engineering - 376 pages
38. vaipink, Vladimir,1995. The nature of statistical l earning Theory (new York:spring verlag),314 pages
39. Yamani M. Rahimi Herabadi S.Godarzi mehr S. 2012 The periodic changes the coastline of East Strait of Hormuz preceding studies using remote sensing techniques Journal of Environmental Erosion E.E.R. No. 1390. (In Persian)

